

\mathcal{L}_{SM} ist nun spezifiziert.

müssen nun etwas "Buchhaltung" betreiben:

SSB im Higgs-Sektor \rightarrow Massenterme

Identifikation der Higgs-Eigenzustände \rightarrow Mischungsmatrizen

Erinnerung: (S. 71) SSB, $V(\Phi) \rightarrow |\Phi|^2$, $\Phi = \frac{1}{\sqrt{2}} \begin{pmatrix} 0 + \phi_2 + i\phi_1 \\ v + \phi_0 - i\phi_3 \end{pmatrix} = \frac{1}{\sqrt{2}} e^{i\frac{\phi_1 - i\phi_2}{v}} \begin{pmatrix} 0 \\ v + H(x) \end{pmatrix}$ "unitäre Eichung"

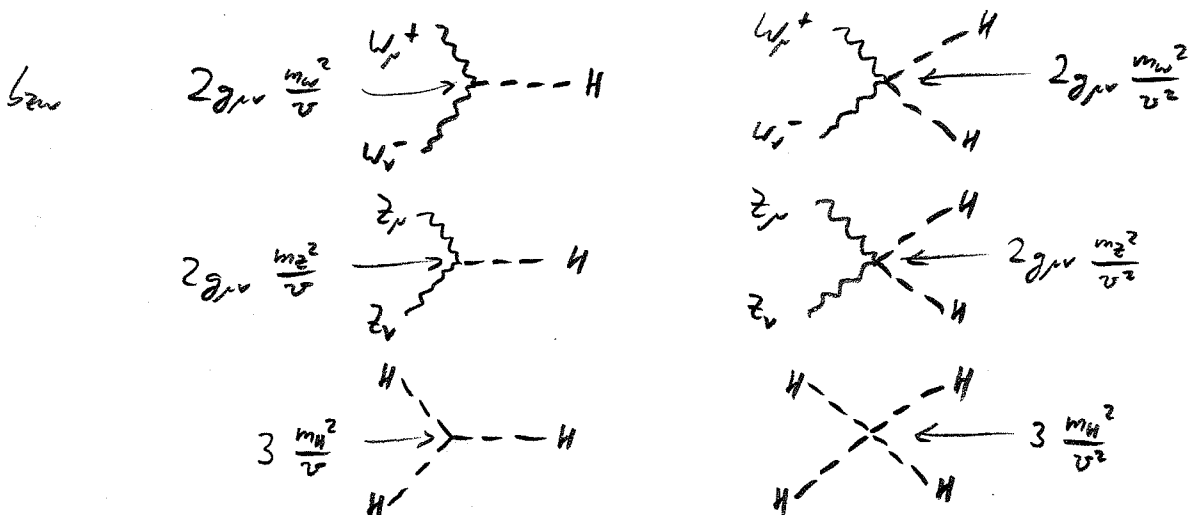
③' $\Rightarrow \mathcal{L}_{Higgs} = m_W^2 W^{\mu\nu} W_{\mu\nu} \left(1 + \frac{H}{v}\right)^2 + \frac{1}{2} m_Z^2 Z^{\mu\nu} Z_{\mu\nu} \left(1 + \frac{H}{v}\right)^2 + 0 \cdot Q^{\mu\nu} Q_{\mu\nu} + \frac{1}{2} (\partial_\nu H)(\partial^\nu H) - \left[-\frac{1}{4} \lambda v^4 + \frac{1}{2} m_H^2 H^2 + \lambda v H^3 + \frac{1}{4} H^4 \right]$

(Minimum des Higgs-Potentials, Konstante, irrelevant im SM; problematisch mit Gravitation! ("kosmologische Konstante", aber viel größer und mit anderen Vorzeichen als beobachtet))

wobei $W^\pm \equiv \frac{1}{\sqrt{2}} (A^1 \mp iA^2)$, $Z \equiv \sin(\theta_w) B + \cos(\theta_w) A^3$
Photon $Q \equiv \cos(\theta_w) B - \sin(\theta_w) A^3$

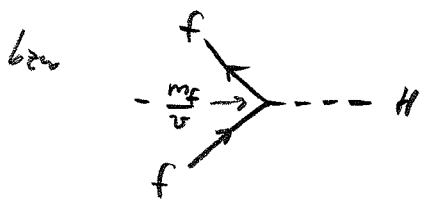
schwacher Mischungswinkel $\tan(\theta_w) = \frac{g_Y}{g_W} \Rightarrow \sin^2 \theta_w = 1 - \frac{m_W^2}{m_Z^2}$

$m_W = \frac{g_W v}{2}$, $m_Z = \frac{\sqrt{g_W^2 + g_Y^2} v}{2} = \frac{m_W}{\cos(\theta_w)}$



⑤' $\Rightarrow \mathcal{L}_{\text{Yukawa}} = - \sum_f m_f \bar{\psi}_f \psi_f \left(1 + \frac{H}{v}\right)$
 Fermionen \nearrow \uparrow Massen-Eigenzustände der Fermionen

Erinnerung: benötigt werden 3x3 Matrizen zur Diagonalisierung, vgl. S. 73/74



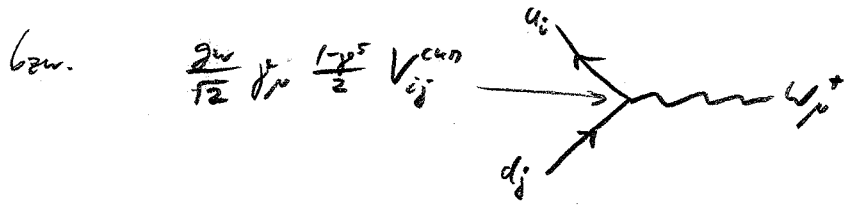
Fermionen koppeln an Higgs mit Stärke $\frac{m_f}{v} = \frac{g_w m_f}{2m_W}$
 \rightarrow sehr schnelle Kopplung, bis auf Top-Quark + Higgs!

④' $\Rightarrow \mathcal{L}_{\text{FZ}} \ni \mathcal{L}_{\text{gel. Strom}} = - \frac{g_w}{\sqrt{2}} \left[\bar{J}_+^\mu W_\mu^- + (\bar{J}_+^\mu)^\dagger W_\mu^+ \right]$

geladener Strom (vgl. S. 59) $\left\{ \sum_L \bar{D}_L \begin{pmatrix} 0 & \gamma^\mu \\ 0 & 0 \end{pmatrix} D_L \right\}$, $D_L \in \{Q_{iL}, L_{iL}\}$, $i=1..3 \leftarrow \text{Gen.}$ \swarrow falls ν massiv, Dirac

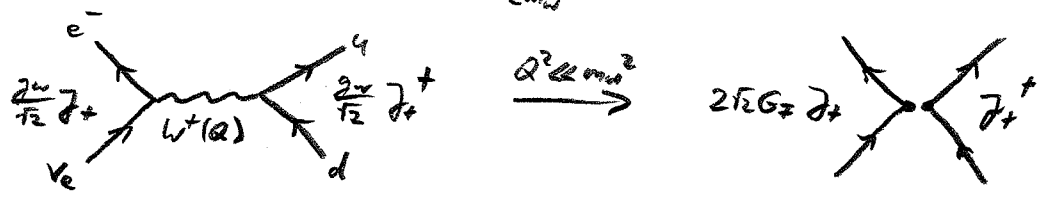
$= (\bar{u} \bar{c} \bar{E}) \gamma^\mu \frac{1-\gamma^5}{2} V_{CKM} \begin{pmatrix} d \\ s \\ b \end{pmatrix} + (\bar{\nu}_e \bar{\nu}_\mu \bar{\nu}_\tau) \gamma^\mu \frac{1-\gamma^5}{2} V_L \begin{pmatrix} e \\ \mu \\ \tau \end{pmatrix}$

(V-A)-Form $= \begin{pmatrix} V_{ud} & V_{us} & V_{ub} \\ \vdots & \vdots & \vdots \end{pmatrix}$, $|V_{CKM}| \approx \begin{pmatrix} 1 & \lambda & \lambda^3 \\ \lambda & 1 & \lambda^2 \\ \lambda^3 & \lambda^2 & 1 \end{pmatrix}$, $\lambda \approx \sin \theta_c \approx 0.22$



Bem.: Im Limes $Q^2 \ll m_W^2$ erhält man das Fermi-Modell (vgl. S. 57).

$\mathcal{L}_{\text{gel. Strom}}^{\text{eff.}} = - \boxed{2\sqrt{2}G_F} \bar{J}_+^\mu (\bar{J}_+^\mu)^\dagger = \frac{g_w^2}{2m_W^2} = \frac{2}{v^2}$

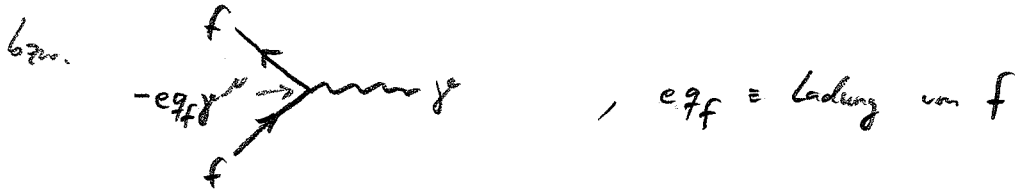


$$\textcircled{4}'_b \Rightarrow \mathcal{L}_{\text{Fer}} \ni \mathcal{L}_{\text{QED}} = -e \underbrace{\bar{\psi} \gamma^\mu \psi}_{\text{Photon} = \cos \theta_w B_\mu - \sin \theta_w A_\mu^3} Q_\mu = \frac{g_w g_Y}{\sqrt{g_w^2 + g_Y^2}} = g_Y \cos \theta_w = g_w \sin \theta_w$$

$$\text{el. mag. Strom} = \sum_{i=1}^3 \left\{ \frac{2}{3} \bar{u}_i \gamma^\mu u_i - \frac{1}{3} \bar{d}_i \gamma^\mu d_i - \bar{e}_i \gamma^\mu e_i \right\}$$

Generationen

hat dieselbe Form für Schwache und Massen-EZ
 ((da die mischenden Fermionen die gleiche Ladung haben))



$$\textcircled{4}'_c \Rightarrow \mathcal{L}_{\text{Fer}} \ni \mathcal{L}_{\text{neutr. Strom}} = -\frac{g_w}{2 \cos \theta_w} \bar{\psi} \gamma^\mu \psi \underbrace{Z_\mu}_{\sin \theta_w B_\mu + \cos \theta_w A_\mu^3}$$

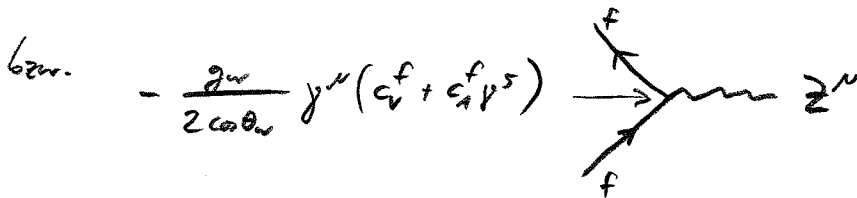
neutraler Strom (vgl. S. 60)

$$= \sum_D \bar{D}_L \begin{pmatrix} \gamma^\mu (c_V^u + c_A^u \gamma^5) & 0 \\ 0 & \gamma^\mu (c_V^d + c_A^d \gamma^5) \end{pmatrix} D_L$$

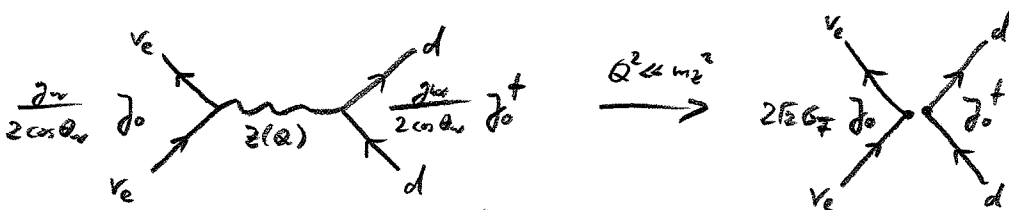
$$= \sum_{i=1}^3 \left\{ \bar{u}_{iL} \gamma^\mu u_{iL} - \bar{d}_{iL} \gamma^\mu d_{iL} + \bar{\nu}_{iL} \gamma^\mu \nu_{iL} - \bar{e}_{iL} \gamma^\mu e_{iL} \right\}$$

$$= -2 \sin^2 \theta_w \bar{\psi} \gamma^\mu \psi$$

hat wieder dieselbe Form für schwache und Massen-EZ



Bem.: wieder $Q^2 \ll m_Z^2 \Rightarrow \mathcal{L}_{\text{neutr. Strom}}^{\text{eff.}} = -2\sqrt{2} G_F \bar{\psi} \gamma^\mu (\gamma_0)^{\dagger}$



$$\left(\frac{g_w^2}{4 \cos^2 \theta_w m_Z^2} = \frac{g_w^2}{4 m_W^2} = \sqrt{2} G_F ; \text{ Faktor } 2 \text{ ?} \right)$$